

## استخدام المسح الجيوفيزيائي الكهربائي في التأكيد من معطيات التحسس الثاني للفوائق في مدينة الموصل / العراق

منيف محجوب محمد المحجوب

مركز التحسس الثاني

جامعة الموصل

### الملخص

تضمن البحث إجراء مسح جيوفيزيائي كهربائي في الجانب الأيسر من مدينة الموصل للكشف عن امتداد فالق وادي عكاب المؤشر من البيانات الفضائية. شمل المسحأخذ ( 11 ) نقطة جس كهربائي عمودي (VES) موزعة على مسارين يمتدان بشكل عمودي على امتداد الفالق المذكور. أظهر المسح عدم وجود أي تأثير لفالق في منطقة الدراسة. كما أظهر المسح وجود قناة قديمة لنهر دجلة واقعة مابين حي المثنى وهي الحدباء.

## The Use of the Electrical Geophysical Survey to Improved Faults Delineated by Remote Sensing Technique in Mosul / Iraq

Muneef M. Al-Mahjoob

*Remote Sensing Center*

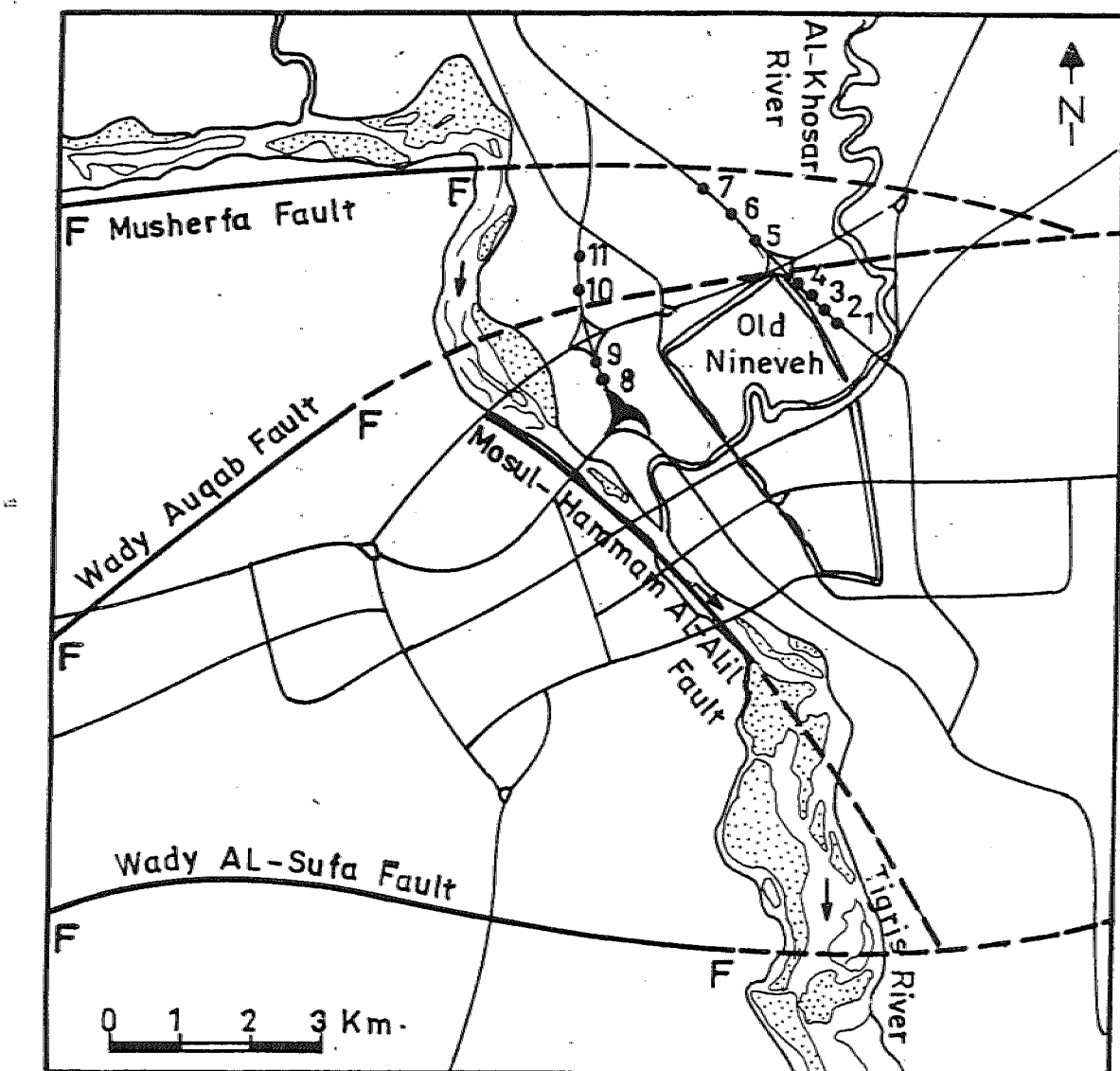
*Mosul University*

### ABSTRACT

The geophysical / electrical resistivity survey has been carried out for the left side area of Tigris river in Mosul city. The aim was to detect the extension of Wadi Agab fault, which has already been referred by previous studies using remote sensing methods. The present survey has no shown any indication of the fault in the study area. The study has also shown the presence of subsurface channel of Tigris river between Al- Mothanna and Al-Hadba.

### المقدمة

شهدت مدينة الموصل العديد من الدراسات الجيولوجية، فقد قام (أديب ، 1988) بدراسة تركيبية وطبقية الجانب الأيمن من المدينة وووجدها متأثرة بخمسة فوائق قام بتقسيمها حسب اتجاهاتها، ومن بينها فالق وادي عكاب الذي يمتد باتجاه شمال شرق - جنوب غرب ، (شكل 1).



LEGEND

- River
- Fault Line
- Lineament
- Road
- 5 Vertical Electrical Sounding

شكل 1: خارطة موقع منطقة الدراسة موضحاً عليها الفواليق المقترحة ونقاط الجس الكهربائي العمودي  
 (عن: الجبر، 1997).

درس (الجبر ، 1997) جيومورفولوجية وجيوهندسية مدينة الموصل باستخدام تقنيات التحسين النائي ، وقد قام بربط صفتى المدينة بعدد من الخطيات التي تمثل امتداداً للفووالق التي ثبتتها (أديب ، 1988) في الجانب الأيمن من المدينة . ومن الفووالق التي تم ربطها فاللق وادي عكاب حيث تم ربطه عبر خطية تمت من محور طية عطشان وعبر مدينة الموصل حتى مغطس طية بعشيقه، (شكل 1).

يهدف البحث الحالي إلى محاولة التأكيد من وجود امتداد فالق وادي عكاب في الجانب الأيسر من مدينة الموصل والذي أشار إليه (الجبر، 1997) من خلال استخدام البيانات الفضائية ، وذلك باستخدام المسح الجيوفيزيائي الكهربائي.

جيولوجية المنطقة

تعد منطقة الموصل من المناطق المستقرة نسبياً والحديث التكوين إذا ما قورنت بالمناطق الموجدة إلى الشمال الشرقي من قطاع الطيّات، حيث إنها تشكّل جزءاً من نطاق أقدام التلال (Buday and Jassim, 1987). تمتاز المنطقة ببساطة تركيبها وانعدام التراكيب الجيولوجية المعقدة فهي ليست سوى تعبير سطحي لمجموعة من الفووالق العميقه التي أثرت على جيولوجية المدينة وتوزيع الوحدات الطباقية من خلال حركات أفقية وعمودية أدت إلى حدوث رفع لبعض الأجزاء مما عمل على تشوّهها وفي بعض المناطق أثرت على مجرى نهر دجلة وسببت اكتشاف المصاطب النهرية في عمّوم الحوض، (الجبير، 1997).

تغطي المنطقة بصورة عامة تربات العصر الرباعي وتشمل تربات السهل الفيضي التي يبلغ سمكها (21) متراً قرب نهر دجلة ، ويقل بالاتجاه إلى الشرق بعيداً عن مجرى النهر . أيضاً توجد في المنطقة تربات المصاطب النهرية التي شكل حزاماً متقطعاً يمتد بمحاذاة مجرى نهر دجلة الحالي ويصل أقصى طول لهذا الحزام إلى حوالي ( 20 ) كم أما عرضه فيتبذل بين ( 1 - 6 ) كم، وبسمك مختلف يتراوح بين ( 2 - أكثر من 50 ) متراً. أسفل هذه التربات يتواجد تكوين الفتحة (Al-Fatha Formation) الذي يتكون من تعاقبات من الحجر الجيري وصخور الطين والجبس، وسمكه غير محدد في منطقة الدراسة وذلك لعدم وجود ابار عميقه تخرق هذا التكوين . يغطي تربات العصر الرباعي نطاق من التربة ( تربات العصر الحديث )، (الجبورى، 1988).

العمل الحقائقي

تم إجراء المسح الجيوفизيائي الكهربائي لمنطقة الدراسة خلال شتاء عام 1999 وباستخدام طريقة المقاومة النوعية الكهربائية (Resistivity Method). حيث تمأخذ (11) نقطة جس كهربائي عمودي (VES) موزعة على مسارات يمتدان بشكل عمودي عبر امتداد فالق وادي عكاب المقترن من قبل

(الجبير، 1997) . يقع المسار الأول على طول الطريق الوacial بين حي المثلث وحي الحدباء بطول (3) كم، ويضم (7) نقاط جس كهربائي عمودي (VES). اما المسار الثاني فيقع في منطقة الغابات بطول (1.75) كم، ويضم (4) نقاط جس كهربائي عمودي (VES)، (شكل 1). استخدم ترتيب شلمبرجر للأقطاب في هذا المسح وبلغت أقصى مسافة للنشر بين قطبي التيار (AB) ( 500 ) متر.

### تفسير نتائج المسح الجيوفيزياي الكهربائي

إن منحنيات المقاومة النوعية الكهربائية التي تم الحصول عليها من نقاط الجس الكهربائي العمودي تضم منحنيات ثلاثة ، رباعية وخمسية الطبقية (شكل 2). لعرض الحصول على سمك والمقاومة النوعية لانطقة الجيوكهربائية تم تفسير المنحنيات الحقلية باستخدام طريقة النقطة المساعدة (Auxiliary) (Orellana and Mooney,1966) Point Method)

جدول 1: نتائج الجس الكهربائي العمودي (ترتيب شلمبرجر)

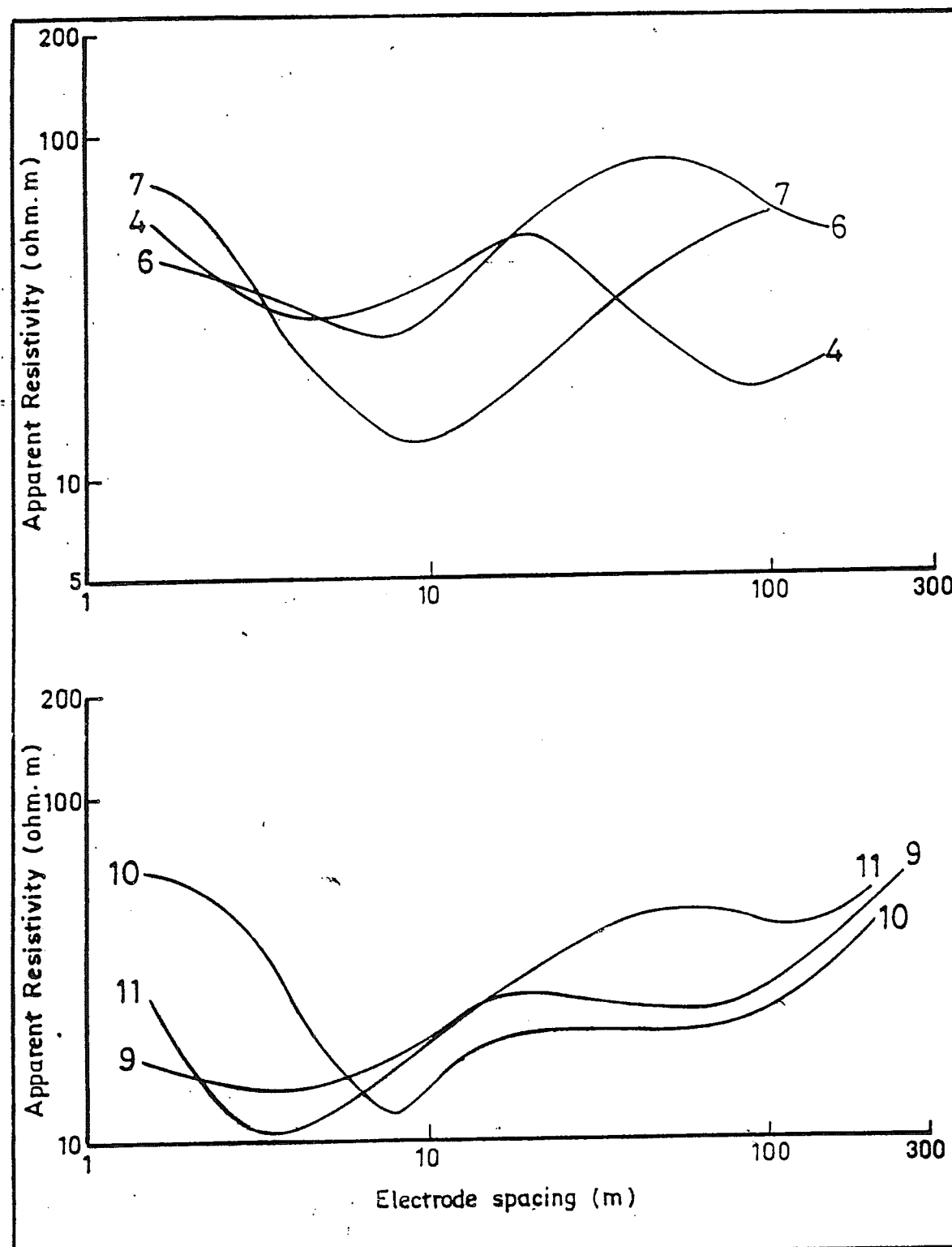
VES No.	$\rho_1$ $\Omega \cdot m$	$\rho_2$ $\Omega \cdot m$	$\rho_3$ $\Omega \cdot m$	$\rho_4$ $\Omega \cdot m$	$\rho_5$ $\Omega \cdot m$	$h_1$ m.	$h_2$ m.	$h_3$ m.	$H_4$ m.
1	250.0	50.0	392.0	28.5	-	0.6	3.4	2.0	-
2	82.0	24.6	16.2	-	-	1.08	1.5	-	-
3	95.0	76.0	12.7	-	-	1.2	3.90	-	-
4	70.0	26.0	98.0	15.0	-	0.8	4.0	13.2	-
5	135.0	6.75	320.0	-	-	0.6	2.0	-	-
6	45.0	22.0	330.0	-	-	1.7	6.5	9.0	-
7	94.0	11.0	190.0	-	-	1.3	7.5	-	-
8	110.0	60.5	136.0	45.0	230.0	1.05	3.1	3.6	61.75
9	18.5	12.0	33.75	22.5	460.0	1.1	3.10	8.2	71.
10	77.0	10.78	60.0	19.2	400.0	1.45	6.96	7.31	48.1
11	48.0	9.6	100.0	36.0	76.0	0.4	2.32	12.1	52.65

$\rho$  : المقاومة النوعية الكهربائية

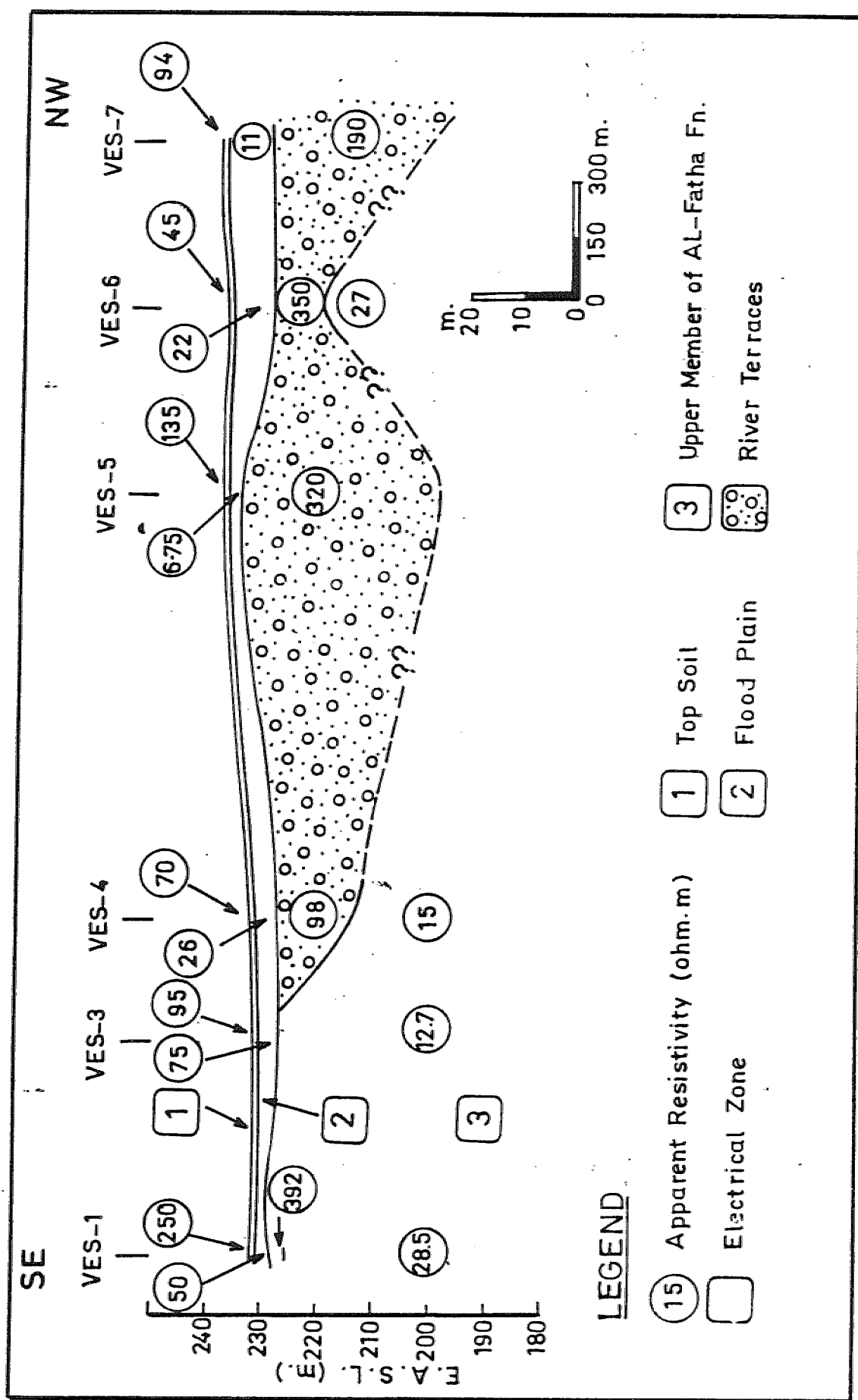
$h$  : سمك النطاق

تم رسم مقطعين جيوكهربائيين من نتائج تفسير المنحنيات الحقلية على المسارين الأول والثاني و كما مبين في الأشكال ( 3 ، 4 ) على التوالي. أمكن تمييز أربعة أنطقه جيوكهربائية (Geoelectrical Zones) وكما يلي:

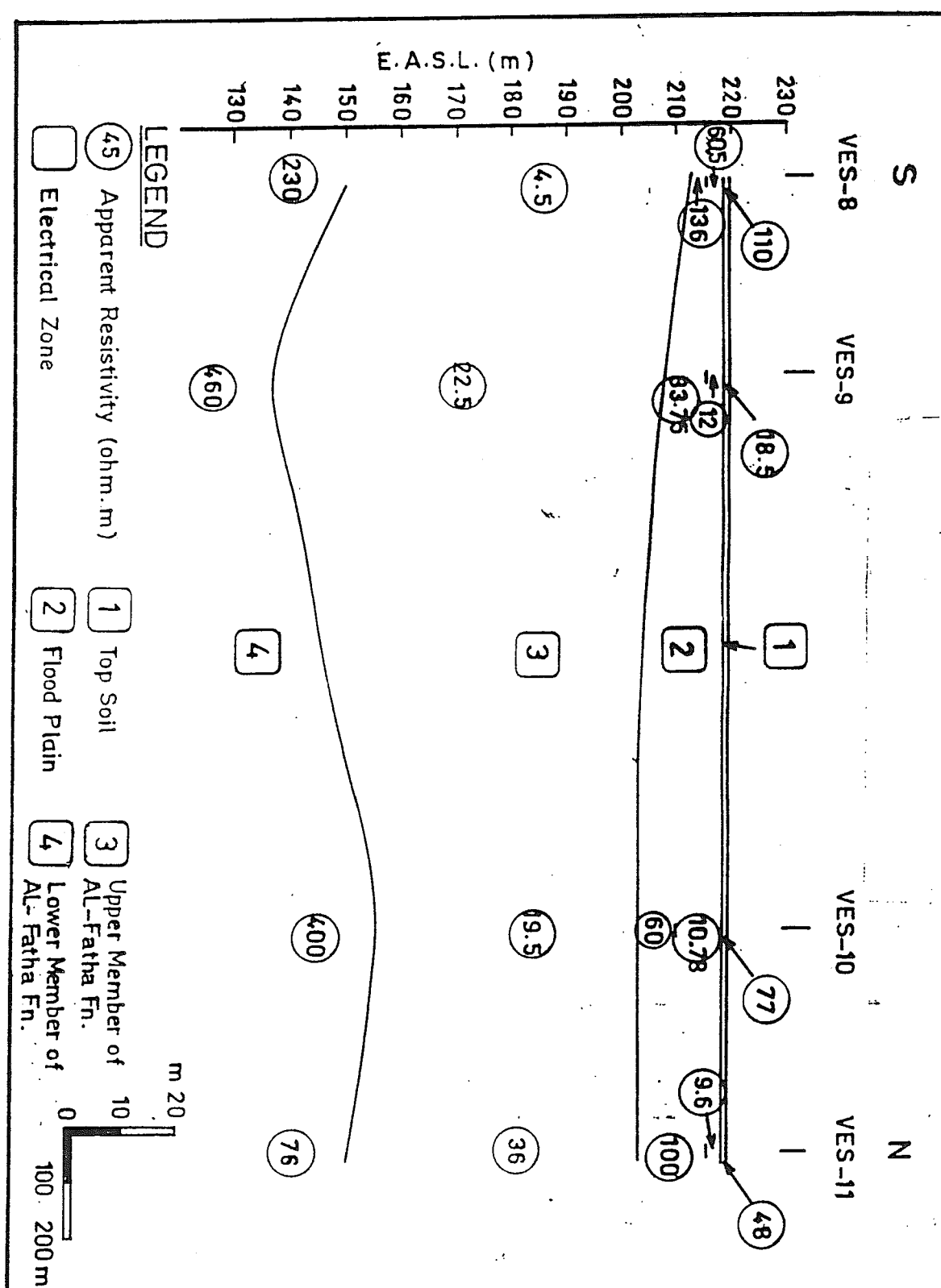
النطاق الأول: و هو ذو مقاومة نوعية تتراوح ( 0.4-1.45 ohm.m) وبسمك يتراوح ( 0.4-18.5 m) ويمثل هذا النطاق تربات التربة السطحية . والارتفاع الظاهر في قيمة المقاومة النوعية لنطاق التربة يعزى إلى تداخله مع تربات المصاطب النهرية.



شكل رقم (2) : منحنيات الجس الكهربائي العمودي لبعض نقاط المسح



شكل رقم (3) : المقطع الجيوكهربائي رقم (1)



شكل (4) المقاطع الجيوكهربائي رقم (2)

النطاق الثاني: وهو ذو مقاومة نوعية تتراوح (6.75-136 ohm.m) وبسمك يتراوح (1.5-14 m) ويمثل هذا النطاق تربات السهل الفيضي والمتكونة من الرمل والسلت والحصى.

النطاق الثالث: وهو ذو مقاومة نوعية تتراوح (12.7-45 ohm.m) «سمكه غير محدد على المسار الأول، أما على المسار الثاني الواقع في منطقة الغابات فسمك النطاق يتراوح (48.1 - 71.3 m) و يمثل هذا النطاق العضو العلوي لتكوين الفتحة (Al-Fatha Formation).

النطاق الرابع: تم ملاحظة هذا النطاق على المسار الثاني فقط ، وهو ذو مقاومة نوعية تتراوح (76-460 ohm.m) وسمكه غير محدد، و يمثل هذا النطاق العضو السفلي لتكوين الفتحة (Al-Fatha Formation).

بالإضافة إلى الانطقة أعلى تم تمييز تربات المصاطب النهرية على المقطع الجيو-كهربائي رقم ( 1 ) و هي ذات مقاومة نوعية تتراوح (98-350 ohm.m) وسمكتها غير محدد . من خلال المقاطع الجيو-كهربائية ، الأشكال ( 3 ، 4 ) لوحظ عدم وجود أي تأثير لامتداد فالق وادي عكاب في منطقة الدراسة . أيضاً لوحظ على المقطع الجيو-كهربائي رقم ( 1 ) ، الشكل ( 3 ) وجود قناة قديمة تضم تربات المصاطب النهرية ، وهذه القناة على الأغلب تمثل مجرى قديم لنهر دجلة .

### المناقشة والاستنتاجات

أظهر المسح الجيوفизيائي الكهربائي (ترتيب شلمبرجر) عدم وجود أي تأثير لامتداد فالق وادي عكاب في الجانب الأيسر من مدينة الموصل، وهذا يشير إلى ان الخطيات التي تم وضعها من قبل (الجبير، 1997) لا تحمل أي مدلولات تركيبية، وان اجراء مسوحات جيوفيزيكية تفصيلية للفووالق الاخرى ربما تعطي صورة اوضح للوضع التركيبى للمنطقة.

أيضاً أظهر المسح وجود قناة قديمة لنهر دجلة واقعة ما بين حي المثنى و حي الحباء . أظهرت المقاطع الجيو-كهربائية لمنطقة الدراسة ان سماكة تربات السهل الفيضي في منطقة الغابات بحدود (15) متراً، أما في منطقة حي الحباء فكان سماكة التربات بحدود (5) متراً ، وهذا يتطابق مع ما أشار إليه (الجبوري، 1988) من أن سماكة تربات السهل الفيضي يقل بالاتجاه إلى الشرق بعيداً عن المجرى الحالي لنهر دجلة.

### المصادر العربية

أديب، هدير غاري محمد، 1988. تركيبة وطبقية مدينة الموصل، الجانب الأيمن، رسالة ماجستير غير منشورة، كلية العلوم، جامعة الموصل.

الجبورى، منهل عبد السلام محمد علي، 1988. جيولوجية منطقة الموصل - شرق نهر دجلة، اطروحة ماجستير غير منشورة، كلية العلوم، جامعة الموصل.

الجبر، فيصل خضر محمود، 1997. جيومورفولوجية وجيوهندسية مدينة الموصل باستخدام تقنيات التحسس النائي، اطروحة ماجستير غير منشورة، كلية العلوم، جامعة الموصل.

### المصادر الأجنبية

- Buday, T. & Jassim, S. Z., 1987. The regional geology of Iraq, Vol.2, Tectonism, Magmatism. and Metamorphism, Edited by Kassab, I.I.M. and Abbas, M. J., Baghdad.
- Orellana, E. & Mooney, H., 1966. Master tables and curves for vertical electrical sounding over layered structure, Madrid, Interciencia, 193 p.

